



Modèle pour variable multi-classes

Arbres de décision

David Causeur

Laboratoire de Mathématiques Appliquées

Agrocampus Rennes

IRMAR CNRS UMR 6625

<http://www.agrocampus-rennes.fr/math/causeur/>



Plan du cours

- 1 Préférence d'une marque
- 2 Modèles pour variables qualitatives
 - Modèles pour variables qualitatives nominales
 - Modèles pour variables qualitatives ordinales
 - Discrimination logistique
- 3 Arbres de classification
 - Règle binaire de classification
 - Arbre récursif binaire
- 4 Bilan



Choix d'une marque par un consommateur

La marque préférée est-elle la même selon l'âge et le sexe ?

	Gender	Age	Brand
1	M	24	M1
2	M	26	M3
3	M	26	M1
4	F	27	M2
5	F	27	M3
6	M	27	M2
⋮	⋮	⋮	



Choix d'une marque par un consommateur

La marque préférée est-elle la même selon l'âge et le sexe ?

	Gender	Age	Brand
1	M	24	M1
2	M	26	M3
3	M	26	M1
4	F	27	M2
5	F	27	M3
6	M	27	M2
⋮	⋮	⋮	

Age : variable quantitative



Choix d'une marque par un consommateur

La marque préférée est-elle la même selon l'âge et le sexe ?

	Gender	Age	Brand
1	M	24	M1
2	M	26	M3
3	M	26	M1
4	F	27	M2
5	F	27	M3
6	M	27	M2
⋮	⋮	⋮	

Age : variable quantitative

Marque : variable qualitative à 3 modalités



Choix d'une marque par un consommateur

Age	Marque			Total
	M1	M2	M3	
24	1	0	0	1
26	2	0	0	2
27	8	0	1	9
28	10	2	3	15
29	14	5	0	19
30	13	6	4	23
31	19	14	7	40
32	110	168	55	333
33	7	32	16	55
34	10	29	25	64
35	1	8	26	35
36	10	29	46	85
37	1	6	15	22
38	1	8	23	32

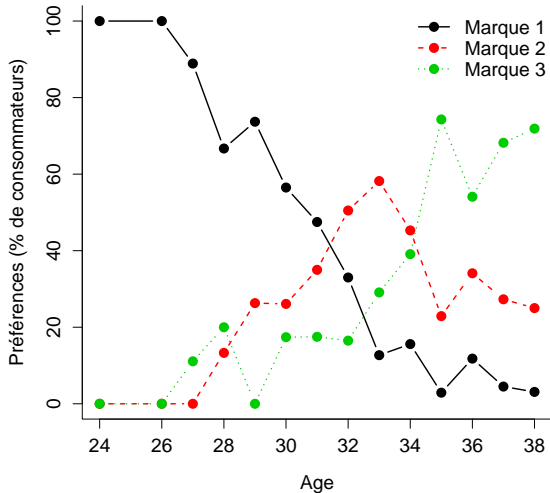


Choix d'une marque par un consommateur

Age	Marque			Total
	M1	M2	M3	
24	100.0	0.0	0.0	100.0
26	100.0	0.0	0.0	100.0
27	88.9	0.0	11.1	100.0
28	66.7	13.3	20.0	100.0
29	73.7	26.3	0.0	100.0
30	56.5	26.1	17.4	100.0
31	47.5	35.0	17.5	100.0
32	33.0	50.5	16.5	100.0
33	12.7	58.2	29.1	100.0
34	15.6	45.3	39.1	100.0
35	2.9	22.9	74.3	100.1
36	11.8	34.1	54.1	100.0
37	4.5	27.3	68.2	100.0
38	3.1	25.0	71.9	100.0

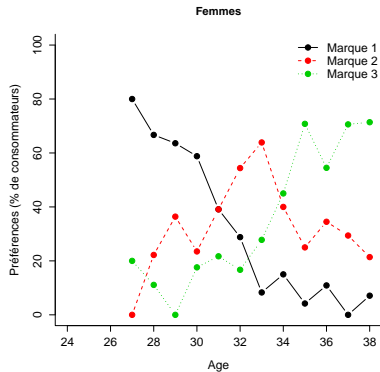
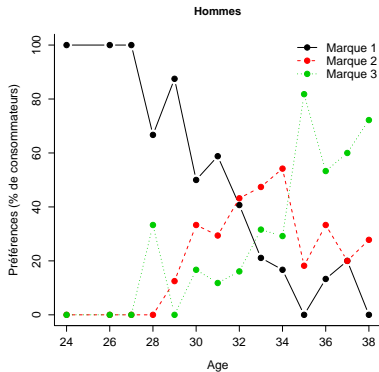


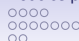
Choix d'une marque par un consommateur





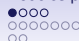
Choix d'une marque par un consommateur





Plan du cours

- 1 Préférence d'une marque
- 2 **Modèles pour variables qualitatives**
 - Modèles pour variables qualitatives nominales
 - Modèles pour variables qualitatives ordinales
 - Discrimination logistique
- 3 Arbres de classification
 - Règle binaire de classification
 - Arbre récursif binaire
- 4 Bilan



Y qualitative nominale

Y qualitative à K modalités (C_1, C_2, \dots, C_K) :

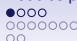
$$\mathbb{P}(Y = C_k) = \pi_k,$$

$$\pi_1 + \dots + \pi_K = 1$$

Pour x fixé :

$$\mathbb{P}_x(Y = C_k) = \pi_k(x),$$

$$\pi_1(x) + \dots + \pi_K(x) = 1$$



Y qualitative nominale

Y qualitative à K modalités (C_1, C_2, \dots, C_K) :

$$\begin{aligned} \mathbb{P}(Y = C_k) &= \pi_k, & \text{Exemple : proba. que la marque k} \\ \pi_1 + \dots + \pi_K &= 1 & \text{soit choisie} \end{aligned}$$

Pour x fixé :

$$\begin{aligned} \mathbb{P}_x(Y = C_k) &= \pi_k(x), & \text{Exemple : proba. que la marque k} \\ \pi_1(x) + \dots + \pi_K(x) &= 1 & \text{soit choisie à l'âge x} \end{aligned}$$



Modélisation logistique multinomiale

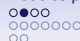
$Y \in \{C_1, C_2, \dots, C_K\}$ **Modèle logistique multinomial :**

$$\log [\pi_2(x)/\pi_1(x)] = L(x; \beta^{(2)}),$$

$$\log [\pi_3(x)/\pi_1(x)] = L(x; \beta^{(3)}),$$

\vdots

$$\log [\pi_K(x)/\pi_1(x)] = L(x; \beta^{(K)}).$$



Modélisation logistique multinomiale

$Y \in \{C_1, C_2, \dots, C_K\}$ **Modèle logistique multinomial :**

$$\log [\pi_2(x)/\pi_1(x)] = L(x; \beta^{(2)}),$$

$$\log [\pi_3(x)/\pi_1(x)] = L(x; \beta^{(3)}),$$

$$\vdots \quad \quad \quad \vdots$$

$$\log [\pi_K(x)/\pi_1(x)] = L(x; \beta^{(K)}).$$

Exemple : Préférence de la marque

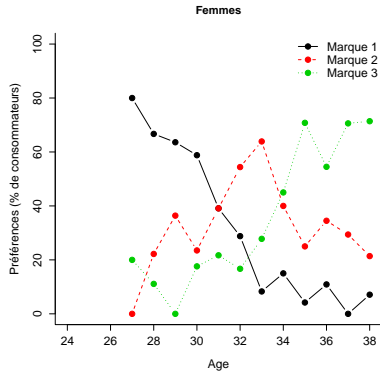
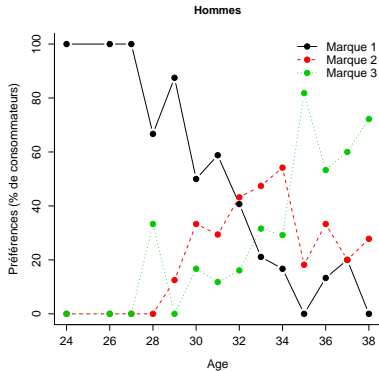
$$\log [\pi_2(x)/\pi_1(x)] = \mu^{(2)} + \alpha_i^{(2)} + [\beta^{(2)} + \gamma_i^{(2)}] x,$$

$$\log [\pi_3(x)/\pi_1(x)] = \mu^{(3)} + \alpha_i^{(3)} + [\beta^{(3)} + \gamma_i^{(3)}] x.$$

Soit 8 paramètres

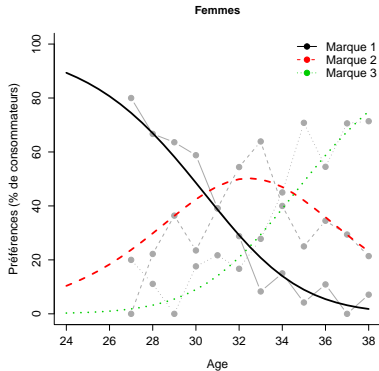
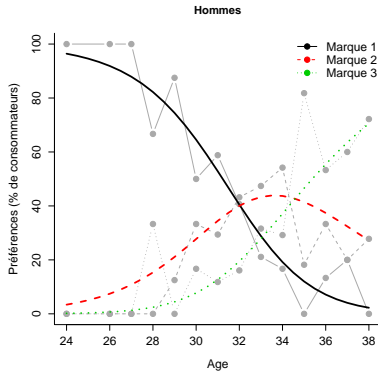


Modélisation logistique multinomiale





Modélisation logistique multinomiale





Estimation par la méthode du maximum de vraisemblance

Pour chaque β ,

$$\begin{aligned} \pi_1(x) &= \frac{1}{1 + \exp [L(x; \beta^{(2)})] + \dots + \exp [L(x; \beta^{(K)})]}, \\ \pi_2(x) &= \frac{\exp L(x; \beta^{(2)})}{1 + \exp [L(x; \beta^{(2)})] + \dots + \exp [L(x; \beta^{(K)})]}, \\ \pi_3(x) &= \frac{\exp L(x; \beta^{(3)})}{1 + \exp [L(x; \beta^{(2)})] + \dots + \exp [L(x; \beta^{(K)})]}, \\ &\vdots \\ \pi_K(x) &= \frac{\exp L(x; \beta^{(K)})}{1 + \exp [L(x; \beta^{(2)})] + \dots + \exp [L(x; \beta^{(K)})]}. \end{aligned}$$

$$\mathcal{V}(\beta) = \mathbb{P}_{x_1}(Y = y_1) \mathbb{P}_{x_2}(Y = y_2) \dots \mathbb{P}_{x_n}(Y = y_n)$$



Estimation par la méthode du maximum de vraisemblance

Pour chaque β , pour les données *marque*

$$\pi_1(x) = \frac{1}{1 + \exp [L(x; \beta^{(2)})] + \exp [L(x; \beta^{(3)})]},$$

$$\pi_2(x) = \frac{\exp L(x; \beta^{(2)})}{1 + \exp [L(x; \beta^{(2)})] + \exp [L(x; \beta^{(3)})]},$$

$$\pi_3(x) = \frac{\exp L(x; \beta^{(3)})}{1 + \exp [L(x; \beta^{(2)})] + \exp [L(x; \beta^{(3)})]}.$$

$$\mathcal{V}(\beta) = \mathbb{P}_{x_1=24}(Y = M_1) \mathbb{P}_{x_2=26}(Y = M_3) \dots \mathbb{P}_{x_n=38}(Y = M_3)$$



Estimation par la méthode du maximum de vraisemblance

Coefficients				
	(Intercept)	Age	Gender[T.M]	Age:Gender[T.M]
M2	-10.23018	0.3364944	-3.1265847	0.08055698
M3	-22.00349	0.6772655	-0.9954803	0.01858241
Écarts-types				
	(Intercept)	Age	Gender[T.M]	Age:Gender[T.M]
M2	2.263182	0.07058379	3.656095	0.1136942
M3	2.629088	0.08062280	4.205734	0.1286519
Residual deviance: 1405.142				
AIC: 1421.142				



Estimation par la méthode du maximum de vraisemblance

Coefficients				
	(Intercept)	Age	Gender[T.M]	Age:Gender[T.M]
M2	-10.23018	0.3364944	-3.1265847	0.08055698
M3	-22.00349	0.6772655	-0.9954803	0.01858241
Écart-types				
	(Intercept)	Age	Gender[T.M]	Age:Gender[T.M]
M2	2.263182	0.07058379	3.656095	0.1136942
M3	2.629088	0.08062280	4.205734	0.1286519
Residual deviance: 1405.142				
AIC: 1421.142				



Analyse de la déviance

Analysis of deviance							
	Model	Resid. df	Resid. dev	Test	Df	LR stat	Pr (Chi)
1	1	1468	1591.792				
2	Age	1466	1413.593	1 vs 2	2	178.1989779	0.00000000
3	Age + Gender	1464	1405.941	2 vs 3	2	7.6512358	0.02180496
4	Age * Gender	1462	1405.142	3 vs 4	2	0.7996223	0.67044664



Analyse de la déviance

Analysis of deviance							
	Model	Resid. df	Resid. dev	Test	Df	LR stat	Pr (Chi)
1	1	1468	1591.792				
2	Age	1466	1413.593	1 vs 2	2	178.1989779	0.00000000
3	Age + Gender	1464	1405.941	2 vs 3	2	7.6512358	0.02180496
4	Age * Gender	1462	1405.142	3 vs 4	2	0.7996223	0.67044664



Analyse de la déviance

Maximum de vraisemblance

Coefficients			
	(Intercept)	Age	Gender[T.M]
M2	-11.25127	0.3682202	-0.5237736
M3	-22.25571	0.6859149	-0.4658215
Écart-types			
	(Intercept)	Age	Gender[T.M]
M2	1.765184	0.05500373	0.1942473
M3	2.042636	0.06262721	0.2260901
Residual deviance: 1405.941			
AIC: 1417.941			



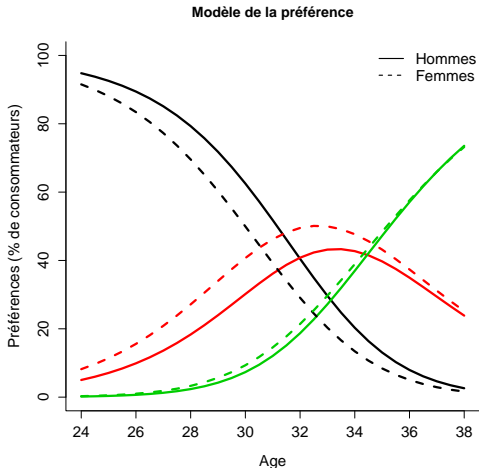
Analyse de la déviance

Maximum de vraisemblance

Coefficients			
	(Intercept)	Age	Gender[T.M]
M2	-11.25127	0.3682202	-0.5237736
M3	-22.25571	0.6859149	-0.4658215
Écart-types			
	(Intercept)	Age	Gender[T.M]
M2	1.765184	0.05500373	0.1942473
M3	2.042636	0.06262721	0.2260901
Residual deviance: 1405.941			
AIC: 1417.941			



Analyse de la déviance





Modèle pour la pression systolique

La pression sanguine dépend-t'elle du poids ?

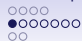
	Gender	Weight	Sbp
1	F	71.66759	2
2	F	82.10022	2
3	M	78.01789	2
4	M	107.50139	3
5	F	77.11070	2
6	M	74.84274	1
⋮	⋮	⋮	



Modèle pour la pression systolique

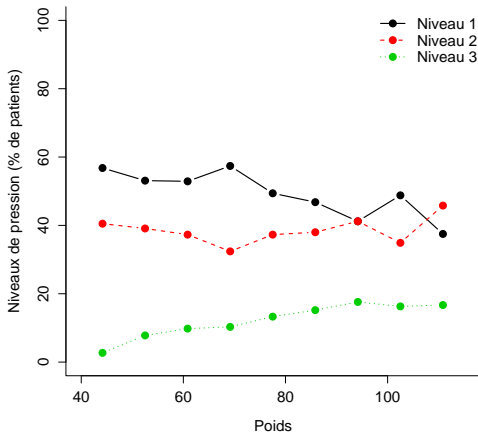
La pression sanguine dépend-t'elle du poids ?

Weights	Marque			Total
	1	2	3	
(40,48.3]	56.8	40.5	2.7	100.0
(48.3,56.7]	53.1	39.1	7.8	100.0
(56.7,65]	52.9	37.3	9.8	100.0
(65,73.3]	57.4	32.4	10.3	100.1
(73.3,81.7]	49.4	37.3	13.3	100.0
(81.7,90]	46.8	38.0	15.2	100.0
(90,98.3]	41.2	41.2	17.6	100.0
(98.3,107]	48.8	34.9	16.3	100.0
(107,115]	37.5	45.8	16.7	100.0



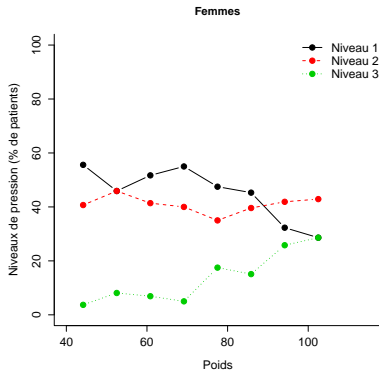
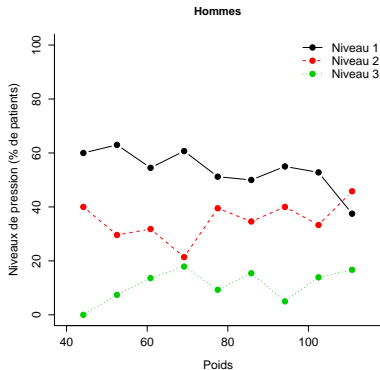
Modèle pour la pression systolique

La pression sanguine dépend-t'elle du poids ?





Modèle pour la pression systolique





Y qualitative ordinale

$$Y \in \{C_1 \leq C_2 \leq \dots \leq C_K\}$$

3 types de modèles du risque :

- Risques adjacents : relatifs à la modalité suivante.

$$\log \left[\frac{\pi_k(x)}{\pi_{k+1}(x)} \right] = L(x; \beta^{(k)})$$



Y qualitative ordinale

$$Y \in \{C_1 \leq C_2 \leq \dots \leq C_K\}$$

3 types de modèles du risque :

- Risques adjacents : relatifs à la modalité suivante.

$$\log \left[\frac{\pi_k(x)}{\pi_{k+1}(x)} \right] = L(x; \beta^{(k)})$$

- Risques séquentiels : relatifs aux modalités supérieures.

$$\log \left[\frac{\pi_k(x)}{\pi_{k+1}(x) + \dots + \pi_K(x)} \right] = L(x; \beta^{(k)})$$



Y qualitative ordinale

$$Y \in \{C_1 \leq C_2 \leq \dots \leq C_K\}$$

3 types de modèles du risque :

- Risques adjacents : relatifs à la modalité suivante.

$$\log \left[\frac{\pi_k(x)}{\pi_{k+1}(x)} \right] = L(x; \beta^{(k)})$$

- Risques séquentiels : relatifs aux modalités supérieures.

$$\log \left[\frac{\pi_k(x)}{\pi_{k+1}(x) + \dots + \pi_K(x)} \right] = L(x; \beta^{(k)})$$

- Risques cumulatifs : le risque que la variable à expliquer soit inférieure à une modalité est calculé par rapport aux modalités supérieures.

$$\log \left[\frac{\pi_1(x) + \dots + \pi_k(x)}{\pi_{k+1}(x) + \dots + \pi_K(x)} \right] = L(x; \beta^{(k)})$$



Modèle à risques cumulatifs

$K - 1$ modèles logit :

$$\log \left[\frac{\pi_1(\mathbf{X})}{\pi_2(\mathbf{X}) + \dots + \pi_K(\mathbf{X})} \right] = L(\mathbf{X}; \beta^{(1)}),$$

$$\log \left[\frac{\pi_1(\mathbf{X}) + \pi_2(\mathbf{X})}{\pi_3(\mathbf{X}) + \dots + \pi_K(\mathbf{X})} \right] = L(\mathbf{X}; \beta^{(2)}),$$

$$\vdots$$

$$\vdots$$

$$\log \left[\frac{\pi_1(\mathbf{X}) + \dots + \pi_{K-1}(\mathbf{X})}{\pi_K(\mathbf{X})} \right] = L(\mathbf{X}; \beta^{(K-1)}).$$



Modèle à risques cumulatifs

$K - 1$ modèles logit :

$$\begin{aligned} \log \left[\frac{\pi_1(\mathbf{X})}{\pi_2(\mathbf{X}) + \dots + \pi_K(\mathbf{X})} \right] &= L(\mathbf{x}; \beta^{(1)}), \\ \log \left[\frac{\pi_1(\mathbf{X}) + \pi_2(\mathbf{X})}{\pi_3(\mathbf{X}) + \dots + \pi_K(\mathbf{X})} \right] &= L(\mathbf{x}; \beta^{(2)}), \\ &\vdots \\ \log \left[\frac{\pi_1(\mathbf{X}) + \dots + \pi_{K-1}(\mathbf{X})}{\pi_K(\mathbf{X})} \right] &= L(\mathbf{x}; \beta^{(K-1)}). \end{aligned}$$

Données *Pression sanguine*

$$\begin{aligned} \log \left[\frac{\pi_{1i}(\mathbf{X})}{\pi_{2i}(\mathbf{X}) + \pi_{3i}(\mathbf{X})} \right] &= \mu^{(1)} + \alpha_i^{(1)} + [\beta^{(1)} + \gamma_i^{(1)}] \mathbf{x}, \\ \log \left[\frac{\pi_{1i}(\mathbf{X}) + \pi_{2i}(\mathbf{X})}{\pi_{3i}(\mathbf{X})} \right] &= \mu^{(2)} + \alpha_i^{(2)} + [\beta^{(2)} + \gamma_i^{(2)}] \mathbf{x}. \end{aligned}$$



Modélisation de la pression sanguine

$$\log \left[\frac{\pi_{1i}(\mathbf{X})}{\pi_{2i}(\mathbf{X}) + \pi_{3i}(\mathbf{X})} \right] = \mu^{(1)} + \alpha_i^{(1)} + [\beta^{(1)} + \gamma_i^{(1)}] \mathbf{X},$$
$$\log \left[\frac{\pi_{1i}(\mathbf{X}) + \pi_{2i}(\mathbf{X})}{\pi_{3i}(\mathbf{X})} \right] = \mu^{(2)} + \alpha_i^{(2)} + [\beta^{(2)} + \gamma_i^{(2)}] \mathbf{X}.$$



Modélisation de la pression sanguine

$$\log \left[\frac{\pi_{1i}(\mathbf{X})}{\pi_{2i}(\mathbf{X}) + \pi_{3i}(\mathbf{X})} \right] = \mu^{(1)} + \alpha_i^{(1)} + [\beta^{(1)} + \gamma_i^{(1)}] \mathbf{X},$$

$$\log \left[\frac{\pi_{1i}(\mathbf{X}) + \pi_{2i}(\mathbf{X})}{\pi_{3i}(\mathbf{X})} \right] = \mu^{(2)} + \alpha_i^{(2)} + [\beta^{(2)} + \gamma_i^{(2)}] \mathbf{X}.$$

Attention : problème si les prédicteurs se croisent

$$\log \left[\frac{\pi_{1i}(\mathbf{X})}{\pi_{2i}(\mathbf{X}) + \pi_{3i}(\mathbf{X})} \right] > \log \left[\frac{\pi_{1i}(\mathbf{X}) + \pi_{2i}(\mathbf{X})}{\pi_{3i}(\mathbf{X})} \right]$$



Modélisation de la pression sanguine

$$\log \left[\frac{\pi_{1i}(\mathbf{X})}{\pi_{2i}(\mathbf{X}) + \pi_{3i}(\mathbf{X})} \right] = \mu^{(1)} + \alpha_i^{(1)} + [\beta^{(1)} + \gamma_i^{(1)}] \mathbf{X},$$

$$\log \left[\frac{\pi_{1i}(\mathbf{X}) + \pi_{2i}(\mathbf{X})}{\pi_{3i}(\mathbf{X})} \right] = \mu^{(2)} + \alpha_i^{(2)} + [\beta^{(2)} + \gamma_i^{(2)}] \mathbf{X}.$$

Attention : problème si les prédicteurs se croisent

$$\log \left[\frac{\pi_{1i}(\mathbf{X})}{\pi_{2i}(\mathbf{X}) + \pi_{3i}(\mathbf{X})} \right] > \log \left[\frac{\pi_{1i}(\mathbf{X}) + \pi_{2i}(\mathbf{X})}{\pi_{3i}(\mathbf{X})} \right],$$

$$\pi_{1i}(\mathbf{X})\pi_{3i}(\mathbf{X}) > [\pi_{1i}(\mathbf{X}) + \pi_{2i}(\mathbf{X})][\pi_{3i}(\mathbf{X}) + \pi_{2i}(\mathbf{X})]$$



Modélisation de la pression sanguine

$$\log \left[\frac{\pi_{1i}(\mathbf{X})}{\pi_{2i}(\mathbf{X}) + \pi_{3i}(\mathbf{X})} \right] = \mu^{(1)} + \alpha_i^{(1)} + [\beta^{(1)} + \gamma_i^{(1)}] \mathbf{X},$$

$$\log \left[\frac{\pi_{1i}(\mathbf{X}) + \pi_{2i}(\mathbf{X})}{\pi_{3i}(\mathbf{X})} \right] = \mu^{(2)} + \alpha_i^{(2)} + [\beta^{(2)} + \gamma_i^{(2)}] \mathbf{X}.$$

Attention : problème si les prédicteurs se croisent

$$\log \left[\frac{\pi_{1i}(\mathbf{X})}{\pi_{2i}(\mathbf{X}) + \pi_{3i}(\mathbf{X})} \right] > \log \left[\frac{\pi_{1i}(\mathbf{X}) + \pi_{2i}(\mathbf{X})}{\pi_{3i}(\mathbf{X})} \right],$$

$$\pi_{1i}(\mathbf{X})\pi_{3i}(\mathbf{X}) > [\pi_{1i}(\mathbf{X}) + \pi_{2i}(\mathbf{X})][\pi_{3i}(\mathbf{X}) + \pi_{2i}(\mathbf{X})]$$



Modèle à risques proportionnels

$$\log \left[\frac{\pi_{1i}(X)}{\pi_{2i}(X) + \pi_{3i}(X)} \right] = \mu^{(1)} + \alpha_i + [\beta + \gamma_i] X,$$

$$\log \left[\frac{\pi_{1i}(X) + \pi_{2i}(X)}{\pi_{3i}(X)} \right] = \mu^{(2)} + \alpha_i + [\beta + \gamma_i] X.$$

Risques proportionnels : odds-ratio

$$OR_{1 \rightarrow [2-3]} = OR_{[1-2] \rightarrow 3}$$



Estimation par la méthode du maximum de vraisemblance

Données **Pression sanguine**

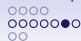
Coefficients			
	Estimation	Écart-type	Stat. t
weight	0.019670849	0.007139504	2.7552124
genderM	0.212015362	0.754463596	0.2810147
weight:genderM	-0.007645852	0.009648443	-0.7924441
Constantes			
	Estimation	Écart-type	Stat. t
1 2	1.2934	0.5235	2.4708
2 3	3.3040	0.5443	6.0702
Déviance résiduelle : 958.2028			
AIC : 968.2028			



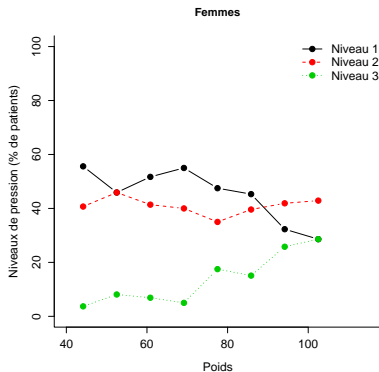
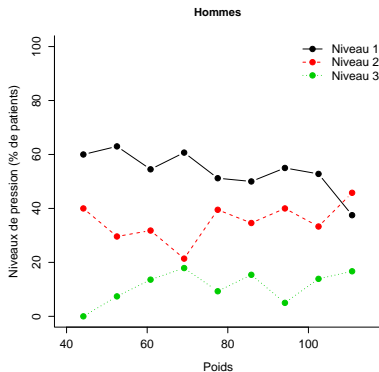
Estimation par la méthode du maximum de vraisemblance

Données **Pression sanguine**

		Coefficients		
	Estimation	Écart-type	Stat. t	
weight	0.019670849	0.007139504	2.7552124	
genderM	0.212015362	0.754463596	0.2810147	
weight:genderM	-0.007645852	0.009648443	-0.7924441	
		Constantes		
	Estimation	Écart-type	Stat. t	
1 2	1.2934	0.5235	2.4708	
2 3	3.3040	0.5443	6.0702	
Déviance résiduelle : 958.2028				
AIC : 968.2028				

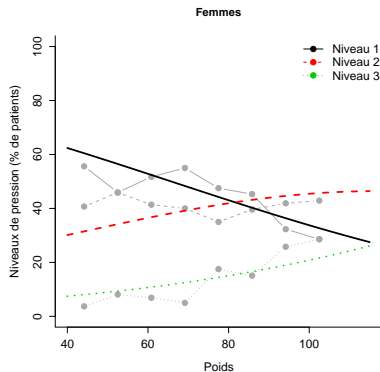
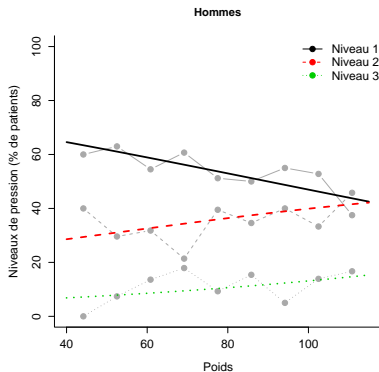


Estimation par la méthode du maximum de vraisemblance





Estimation par la méthode du maximum de vraisemblance





Analyse de la déviance

Analysis of deviance							
	Model	Resid. df	Resid. dev	Test	Df	LR stat	Pr (Chi)
1	1	498	970.9707				
2	weight	497	963.0900	1 vs 2	1	7.8807009	0.004996511
3	weight + gender	496	958.8318	2 vs 3	1	4.2581469	0.039062510
4	weight * gender	495	958.2028	3 vs 4	1	0.6290315	0.427710781



Analyse de la déviance

Analysis of deviance							
	Model	Resid. df	Resid. dev	Test	Df	LR stat	Pr (Chi)
1	1	498	970.9707				
2	weight	497	963.0900	1 vs 2	1	7.8807009	0.004996511
3	weight + gender	496	958.8318	2 vs 3	1	4.2581469	0.039062510
4	weight * gender	495	958.2028	3 vs 4	1	0.6290315	0.427710781



Analyse de la déviance

Données Pression sanguine

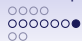
Coefficients			
	Estimation	Écart-type	Stat. t
weight	0.01552393	0.004826471	3.216415
genderM	-0.36920906	0.179606541	-2.055655
Constantes			
	Estimation	Écart-type	Stat. t
1 2	0.9970	0.3630	2.7463
2 3	3.0047	0.3880	7.7436
Déviance résiduelle : 958.8318			
AIC : 966.8318			



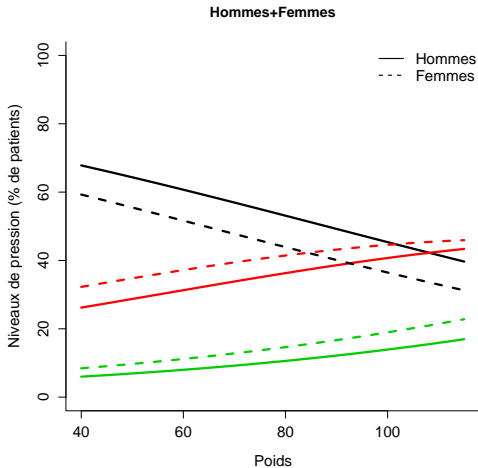
Analyse de la déviance

Données Pression sanguine

Coefficients			
	Estimation	Écart-type	Stat. t
weight	0.01552393	0.004826471	3.216415
genderM	-0.36920906	0.179606541	-2.055655
Constantes			
	Estimation	Écart-type	Stat. t
1 2	0.9970	0.3630	2.7463
2 3	3.0047	0.3880	7.7436
Déviance résiduelle : 958.8318			
AIC : 966.8318			



Analyse de la déviance





Règle de discrimination

Estimation du modèle à partir d'un échantillon

$$\hat{\pi}_{1i}(x) = \frac{\exp(\hat{\mu}^{(1)} + \hat{\alpha}_i + \hat{\beta}x)}{1 + \exp(\hat{\mu}^{(1)} + \hat{\alpha}_i + \hat{\beta}x)},$$

$$\hat{\pi}_{1i}(x) + \hat{\pi}_{2i}(x) = \frac{\exp(\hat{\mu}^{(2)} + \hat{\alpha}_i + \hat{\beta}x)}{1 + \exp(\hat{\mu}^{(2)} + \hat{\alpha}_i + \hat{\beta}x)},$$

$$\hat{\pi}_{1i}(x) + \hat{\pi}_{2i}(x) + \hat{\pi}_{3i}(x) = 1$$

Règle d'affectation pour un individu (*Sexe* = i , *Poids* = x)

Si $\hat{k} = \arg \max \{ \hat{\pi}_{ki}(x) \}$, alors $\hat{Y} = k$.



Validation

Matrice de confusion (validation interne)

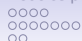
Observé	Prédit			Total
	1	2	3	
1	85.6	14.4	0	100
2	79.4	20.6	0	100
3	73.8	26.2	0	100

Taux d'erreurs très élevés



Plan du cours

- 1 Préférence d'une marque
- 2 Modèles pour variables qualitatives
 - Modèles pour variables qualitatives nominales
 - Modèles pour variables qualitatives ordinales
 - Discrimination logistique
- 3 Arbres de classification
 - Règle binaire de classification
 - Arbre récursif binaire
- 4 Bilan



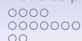
Motivations

Inconvénients des méthodes de type *Scoring*

- Complexes si les variables explicatives sont nombreuses et de natures différentes
Données **Pression sanguine** : Age, **Sexe**, Poids, **Statut marital**, **Fumeur ou non**, ...
- Peu intuitives par rapport à des **règles récursives binaires** :

Si $\text{Age} < 35$, **alors** Pression sanguine = 1,

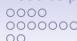
Si $\text{Age} \geq 35$ **et** Fumeur = Non, **alors** Pression sanguine = 1, ...



Règles binaires

Règle binaire : Si $C(x)$ alors $\hat{Y} = y$

- Si x est quantitative, $C(x)$ est de la forme $x < s$
- Si x est qualitative nominale $[x \in \{A, B, C\}]$
 $C(x)$ est de la forme $x \in \{A, C\}$
- Si x est qualitative ordinale $[x \in \{A \leq B \leq C\}]$
 $C(x)$ est de la forme $x \leq B$



Règles binaires

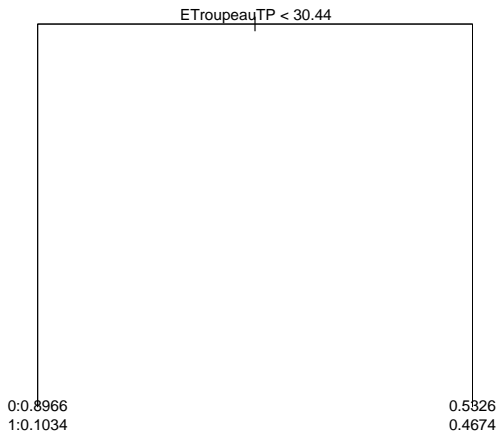
Règle binaire : Si $C(x)$ alors $\hat{Y} = y$

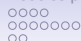
- Si x est quantitative, $C(x)$ est de la forme $x < s$
- Si x est qualitative nominale $[x \in \{A, B, C\}]$
 $C(x)$ est de la forme $x \in \{A, C\}$
- Si x est qualitative ordinale $[x \in \{A \leq B \leq C\}]$
 $C(x)$ est de la forme $x \leq B$

Nœuds d'une règle binaire : sous-ensemble des individus vérifiant $C(x)$ et sous-ensemble des individus vérifiant $\bar{C}(x)$



Règles binaires





Règles binaires

Règle binaire : Si $C(x)$ alors $\hat{Y} = y$

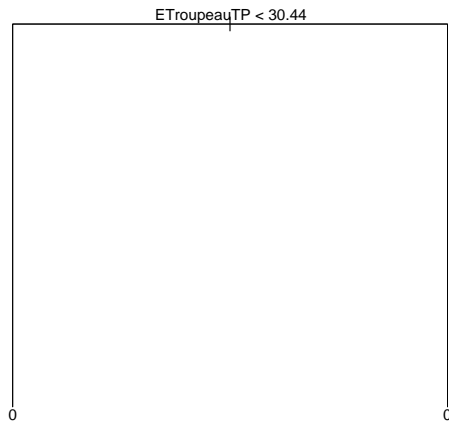
- Si x est quantitative, $C(x)$ est de la forme $x < s$
- Si x est qualitative nominale $[x \in \{A, B, C\}]$
 $C(x)$ est de la forme $x \in \{A, C\}$
- Si x est qualitative ordinale $[x \in \{A \leq B \leq C\}]$
 $C(x)$ est de la forme $x \leq B$

Nœuds d'une règle binaire : sous-ensemble des individus vérifiant $C(x)$ et sous-ensemble des individus vérifiant $\bar{C}(x)$

Affectation des individus d'un même nœud au groupe majoritaire dans ce nœud



Règles binaires





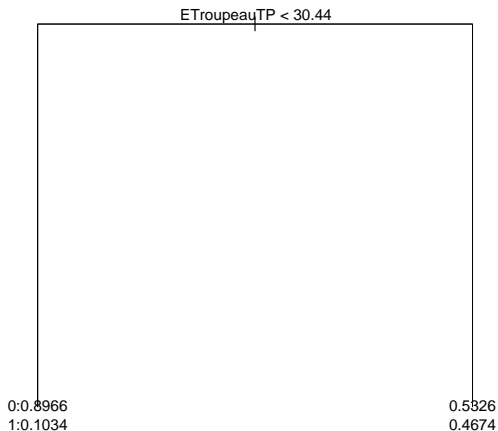
Qualité d'une règle binaire

Critères de qualité

- Taux de bien classés [Uniquement qualité de classification]

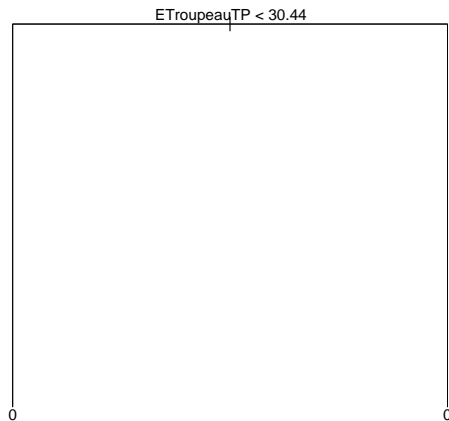


Qualité d'une règle binaire





Qualité d'une règle binaire





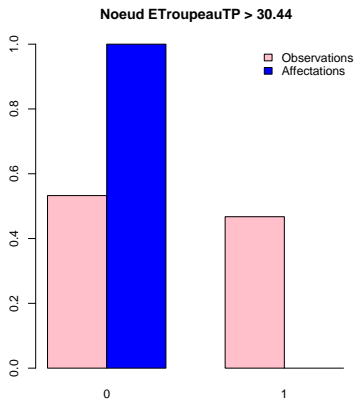
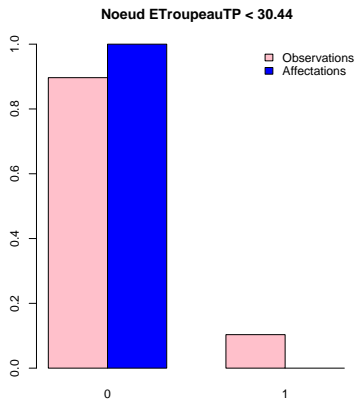
Qualité d'une règle binaire

Critères de qualité

- Taux de bien classés [Uniquement qualité de classification]
- Déviance des noeuds de la règle

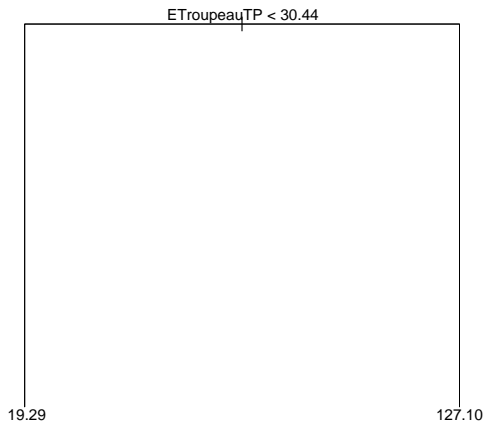


Qualité d'une règle binaire





Qualité d'une règle binaire





Qualité d'une règle binaire

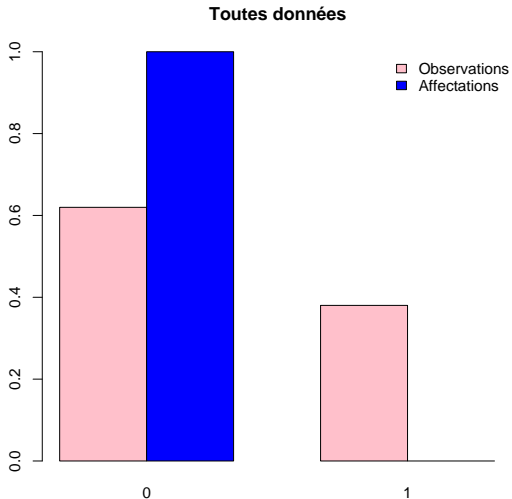
Critères de qualité

- Taux de bien classés [Uniquement qualité de classification]
- Déviance des noeuds de la règle

$$19.29 + 127.10 = 146.39 \quad [\text{Déviance de base} = 160.70]$$



Qualité d'une règle binaire





Qualité d'une règle binaire

Critères de qualité

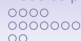
- Taux de bien classés [Uniquement qualité de classification]
- Déviance des noeuds de la règle
- Règle binaire optimale : minimisation de la déviance



Règle multivariée de classification

Arbre optimal : séquence de règles binaires optimales définies par récursivité

- Point de départ : l'échantillon complet [Nœud 1 : racine]



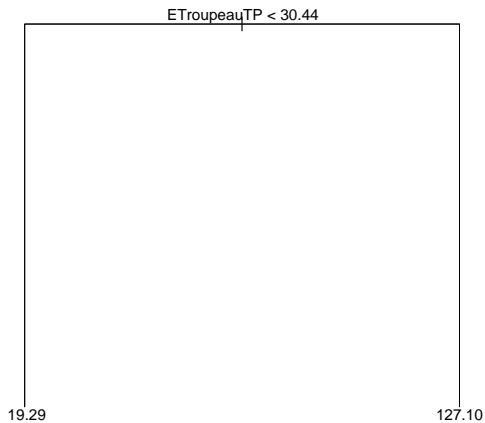
Règle multivariée de classification

Arbre optimal : séquence de règles binaires optimales définies par récursivité

- Point de départ : l'échantillon complet [Nœud 1 : racine]
- 1ère étape : choix de la meilleure règle binaire [Nœuds N_2 et N_3]



Règle multivariée de classification





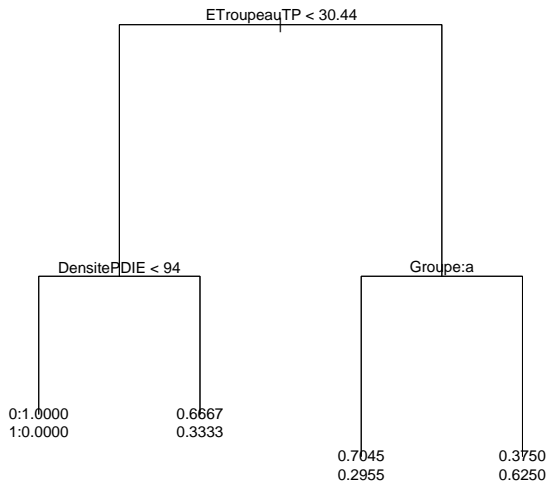
Règle multivariée de classification

Arbre optimal : séquence de règles binaires optimales définies par récursivité

- Point de départ : l'échantillon complet [Nœud 1 : racine]
- 1ère étape : choix de la meilleure règle binaire
[Nœuds N_2 et N_3]
- 2ème étape : choix de la meilleure règle binaire dans N_2 et N_3
[Nœuds N_4 , N_5 , N_6 et N_7]

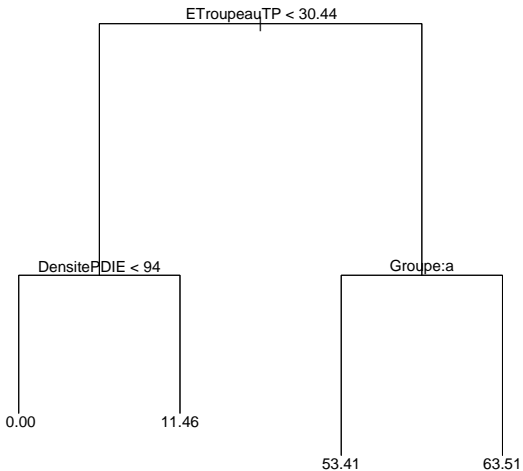


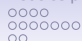
Règle multivariée de classification





Règle multivariée de classification

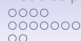




Règle multivariée de classification

Arbre optimal : séquence de règles binaires optimales définies par récursivité

- Point de départ : l'échantillon complet [Nœud 1 : racine]
- 1ère étape : choix de la meilleure règle binaire
[Nœuds N_2 et N_3]
- 2ème étape : choix de la meilleure règle binaire dans N_2 et N_3
[Nœuds N_4 , N_5 , N_6 et N_7]
- 3ème étape : choix de la meilleure règle binaire dans N_4 , N_5 , ...



Règle multivariée de classification

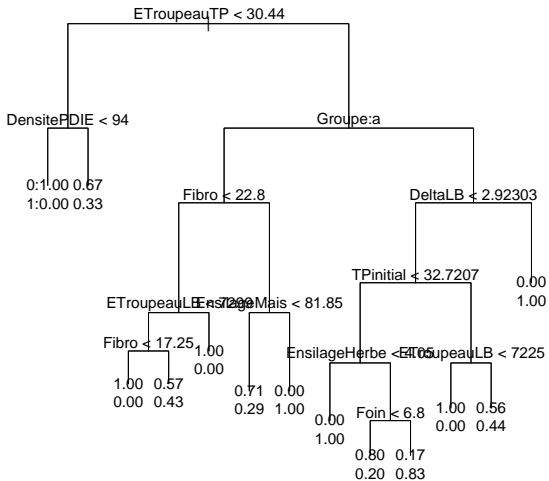
Arbre optimal : séquence de règles binaires optimales définies par récursivité

- Point de départ : l'échantillon complet [Nœud 1 : racine]
- 1ère étape : choix de la meilleure règle binaire
[Nœuds N_2 et N_3]
- 2ème étape : choix de la meilleure règle binaire dans N_2 et N_3
[Nœuds N_4 , N_5 , N_6 et N_7]
- 3ème étape : choix de la meilleure règle binaire dans N_4 , N_5 , ...

Critères d'arrêt : déviance nulle ou nombre d'individus trop faibles dans un nœud terminal

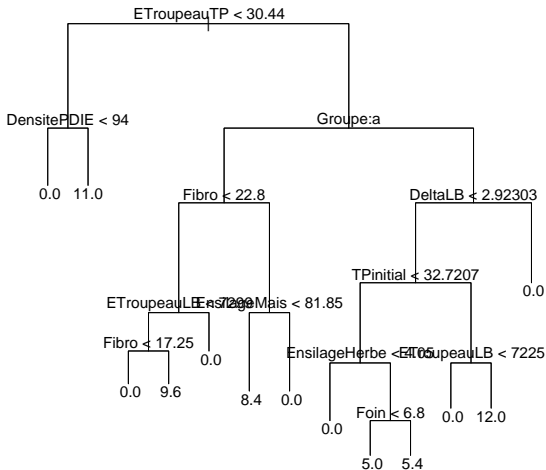


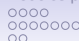
Règle multivariée de classification





Règle multivariée de classification





Règle multivariée de classification

Arbre optimal : séquence de règles binaires optimales définies par récursivité

- Point de départ : l'échantillon complet [Nœud 1 : racine]
- 1ère étape : choix de la meilleure règle binaire
[Nœuds N_2 et N_3]
- 2ème étape : choix de la meilleure règle binaire dans N_2 et N_3
[Nœuds N_4 , N_5 , N_6 et N_7]
- 3ème étape : choix de la meilleure règle binaire dans N_4 , N_5 , ...

Critères d'arrêt : déviance nulle ou nombre d'individus trop faibles dans un nœud terminal

Taille d'un arbre : nombre de nœuds terminaux [feuilles]

Déviance d'un arbre : somme des déviances de ses feuilles



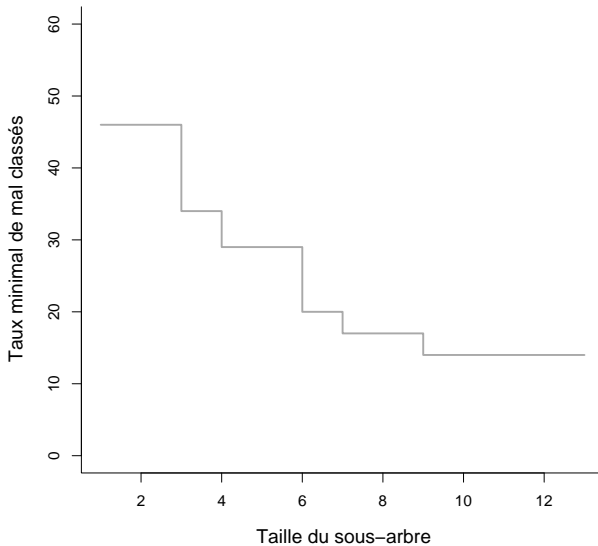
Élagage de l'arbre

Soit K la taille de l'arbre optimal,

l'arbre optimal de taille $k \leq K$ est un sous-arbre de l'arbre optimal

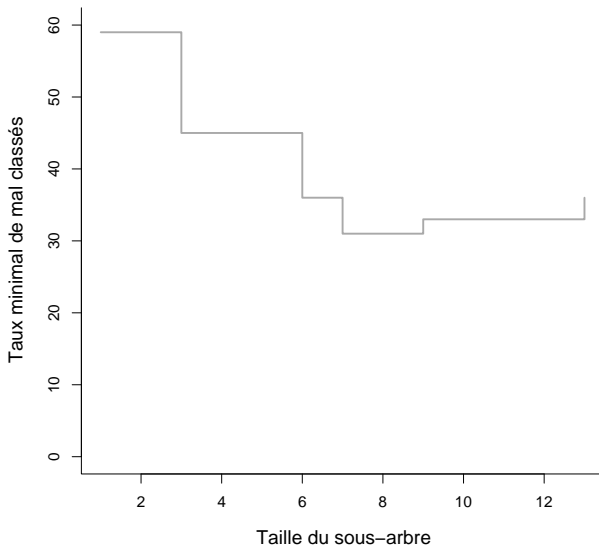


Élagage de l'arbre



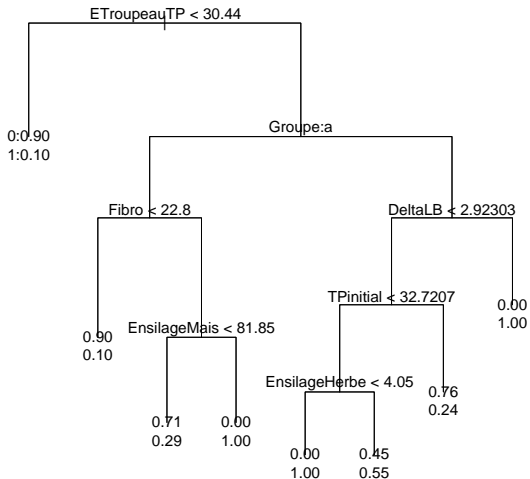


Élagage de l'arbre





Élagage de l'arbre





Élagage de l'arbre

Soit K la taille de l'arbre optimal,

l'arbre optimal de taille $k \leq K$ est un sous-arbre de l'arbre optimal

Matrice de confusion

Observations	Affectations		Total
	0	1	
0	70	5	75
1	12	34	46



Élagage de l'arbre

Soit K la taille de l'arbre optimal,

l'arbre optimal de taille $k \leq K$ est un sous-arbre de l'arbre optimal

Matrice de confusion

	Affectations		
Observations	0	1	
0	93.3	6.7	100
1	26.1	73.9	100



Plan du cours

- 1 Préférence d'une marque
- 2 Modèles pour variables qualitatives
 - Modèles pour variables qualitatives nominales
 - Modèles pour variables qualitatives ordinales
 - Discrimination logistique
- 3 Arbres de classification
 - Règle binaire de classification
 - Arbre récursif binaire
- 4 Bilan



Bilan

	2 modalités	>2 modalités	≥ 2 modalités
	Modèle logistique	Modèle logistique logistique multinomial	Arbre de classification
Explication	•	•	
Prédiction	•	•	•
Mise en œuvre			•